

논문 16-2-11

## Double Pancake Coil형 고온초전도 변압기의 전기적 절연 특성

### Dielectric Insulation Properties of Double Pancake Coil Type HTS Transformer

백승명<sup>1</sup>, 정종만<sup>1</sup>, 이현수<sup>2</sup>, 한철수<sup>1</sup>, 김상현<sup>1</sup>

(Seung-Myeong Baek<sup>1</sup>, Jong-Man Jung<sup>1</sup>, Hyun-Soo Lee<sup>2</sup>, Chul-Su Han<sup>1</sup>, and Sang-Hyun Kim<sup>1</sup>)

#### Abstract

High temperature superconductors can only be applied against an engineering specification that has to be determined for each particular application form the design requirements for economic viability and for operation margins in service. However, in order to realize the HTS transformer, it is necessary to establish the high voltage insulation technique in cryogenic temperature. Therefore, the composite insulation of double pancake coil type transformer are described and AC breakdown voltage characteristics of liquid nitrogen( $\text{LN}_2$ ) under HTS pancake coil electrode made by Bi 2223/Ag are studied. The Breakdown of  $\text{LN}_2$  is dominated electrode shape and distance. The influence of pressure on breakdown voltage is discussed with different electrode. For the electrical insulation design of turn to turn insulation for the HTS transformer, we tested breakdown strength of insulation sheet under varying pressure. And we investigated surface flashover properties of  $\text{LN}_2$  and complex condition of cryogenic gaseous nitrogen(CGN<sub>2</sub>) above a  $\text{LN}_2$  surface. The surface voltage of GFRP was measured as a function of thickness and electrode distance in  $\text{LN}_2$  and complex condition of CGN<sub>2</sub> above a  $\text{LN}_2$  surface. This research presented information of electrical insulation design for double pancake coil(DPC) type HTS transformer.

**Key Words :** Breakdown properties, Double pancake coil, HTS transformer, Composite insulation

#### 1. 서 론

고온초전도기는 기존의 기기보다 효율성이 높고 소형화가 가능하여 경제성이 높기 때문에 고온초전도체를 에너지 시스템에 접목시키기 위한 응용연구가 활발히 전개되었다[1,2]. 최근에는 고온초전도체 본연의 기계적 취약성을 보강한 장치 설계가 개발되면서 MRI, SMES등 아니라 케이블, 변

\* : 경상대학교 전기공학과 및 공학연구원  
(진주시 가좌동 900,  
Fax : 055 751 5345  
Corresponding Author : shkim@nongae.gsn.ac.kr)  
\*\* : 마산대학 컴퓨터 전기공학부  
2002년 9월 30일 접수, 2002년 10월 22일 1차 심사완료  
2002년 11월 23일 최종 심사완료

압기, 한류기 등 그 용용범위가 더욱 확대되고 있다[3]. 특히, 고온초전도체를 변압기에 적용할 경우 기존 변압기 보다 용량을 증가시킬 뿐 아니라 환경적 오염을 줄일 수 있기 때문에 앞으로 고온초전도 변압기가 기존 변압기를 대체할 것으로 기대된다. 하지만, 고온초전도체를 응용하기 위해서는 초전도성을 유지하기 위한 주사온 유지 시스템이 필수적이다. 주사온 환경의 유지와 기기응용에서 기기의 절연주변에서  $\text{LN}_2$ 는 사용 비용이 저렴하고 냉매로서의 역할과 함께 절연물로도 사용할 수 있기 때문에 고온초전도 기기의 냉매로 많이 사용될 것으로 기대된다. 따라서 주사온 분야 연구자들에 의해 고온초전도 기기의 신기술설계 및 운용상 안정성을 확보하기 위해  $\text{LN}_2$ 의 전기적 특성에 대

한 연구가 활발히 이루어지고 있다[4,5]. 하지만, LN<sub>2</sub>의 특성 연구는 극히 제한적인 조건에서 이루어져 왔으며, 복합 절연체에서 절연특성에 대한 연구가 미비하여 다양한 조절도 기기의 설계에 충분한 정보를 제공하지 못하고 있다. 그리고 고온초전도 변압기나, 한류기 등 코일형 기기의 절연연구는 대부분 solenoid 형태에서 연구[6]가 이루어져 왔기 때문에 pancake coil형으로 응용이 기대되는 고온초전도 변압기, 한류기 등의 전기절연설계를 위한 LN<sub>2</sub> 절연파괴특성 연구는 전무한 상태이다.

따라서, 본 연구에서는 전기절연설계와 운전시 안정성 확보를 위하여 DPC형 변압기에서 필요한 절연구성을 명확히 하고, DPC형 기기를 모의한 전극을 사용하여 LN<sub>2</sub>의 절연특성을 고찰하였다. 그리고 변압기와 한류기 등의 절연, 기계적 지지 및 냉각 통로 사용이 기대되는 FRP spacer의 형상에 따른 LN<sub>2</sub>의 절연특성에 미치는 영향을 고찰하였다.

## 2. 절연구성

### 2.1 DPC형 고온초전도 변압기의 절연구성

고온초전도 기기는 극저온에서 운전되기 때문에 고온초전도 기기를 제작, 운전하기 위해서는 극저온에서의 서지와 과전압 그리고 수명 등을 고려한 전기적 절연연구가 선행되어야 한다. 본 연구에서 다양한 고온초전도 기기의 절연을 연구하기 위하여 먼저, DPC형 고온초전도 변압기의 절연구성을

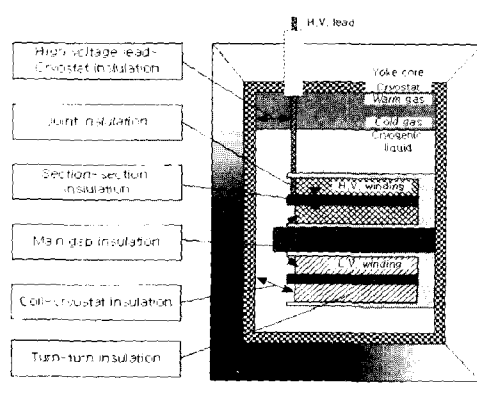


그림 1. DPC형 고온초전도 변압기의 절연구성.  
Fig. 1. Composite insulation of DPC type HTS transformer.

검토하였다. DPC형 고온초전도 변압기의 절연에 사용되는 절연물은 냉매인 액체와 고분자 필름 또 절연지 그리고 spacer 등이다. 실제 응용에서는 이 절연물을 복합적으로 구성하여 사용한다. 그림 1에 DPC형 고온초전도 변압기의 절연구성을 나타낸다. 본 연구에서는 DPC형 고온초전도 변압기의 절연구성 중에서 턴간(turn-turn) 절연, 충간(section-section) 절연 개념을 도식화하였으며, 각 절연구성에 따른 절연설계를 위해 절연파괴 특성을 실험적으로 고찰하였다.

### 2.2 턴간 절연

그림 2에 턴간 절연 개략도를 나타낸다. 턴간 절연은 크게 두 가지로 나눌 수 있다. 첫째는 절연지나 고분자를 이용하여 도체를 절연하거나 고분자 절연물을 이용하여 코팅하는 방법이 있다. 둘째는 첫째 방법에서 턴간에 spacer를 넣는 방법이 있다.

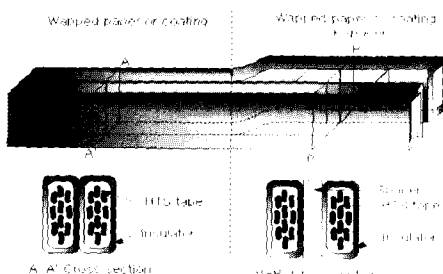


그림 2. 턴간 절연 개략도.

Fig. 2. Schematic diagram of turn-to-turn insulation.

본 연구에서는 첫째 방법을 고려하여 극저온에서 턴간 절연물로 사용이 기대되는 Kapton, PPLP, Nomex 및 Kraft 필름의 절연내력을 측정하였다.

### 3.3 충간과 main 절연

충간은 하나의 DPC에서 coil과 coil사이를 의미하고 main은 고압부 coil과 저압부 coil사이를 의미한다. 그림 3에 충간과 main 절연 개략도를 나타낸다. 그림 3의 좌측부분 그림에서 충간 절연은 LN<sub>2</sub>만 이용한 것을 나타내고 main 절연은 LN<sub>2</sub>와 coil의 former를 이용한 것을 나타낸 것이다. 여기서, 충간 절연은 LN<sub>2</sub>의 절연내력에 의존하고 main은 고압 coil과 저압 coil 사이의 이격거리와 former의 형상과 재질에 의존한다. DPC형 고온초전도 변압기에서 고전압 coil과 저전압 coil 사이의 절연체로 액체만 이용할 경우 LN<sub>2</sub>의 절연내력은 높기 때문

에 콤팩트화 시킬 수 있지만 변압기 coil은 전자력을 받기 때문에 기계적 지지가 필수적이다. 따라서 coil의 지지를 위해 spacer의 사용이 불가피하고, spacer를 사용하는 경우 절연파괴는 연방방전의 형태로 나타나고 LN<sub>2</sub>중 연면방전 전압은 매우 낮으므로 기기의 신뢰성을 높이기 위해 이 부분이 꼭 고려되어야 한다.

또한 spacer를 사용하면 적절한 냉각 체널이 요구된다. 이부분에 대해서는 앞으로 이후에 보고할 예정이다. 그림 3의 우측부분 그림은 spacer가 있을 때의 충간과 main 절연 구성도를 나타낸다. 충간 절연은 충간 spacer의 길이와 두께에 의존하게 된다. main 절연은 main spacer의 길이와 두께에 의존하게 된다.

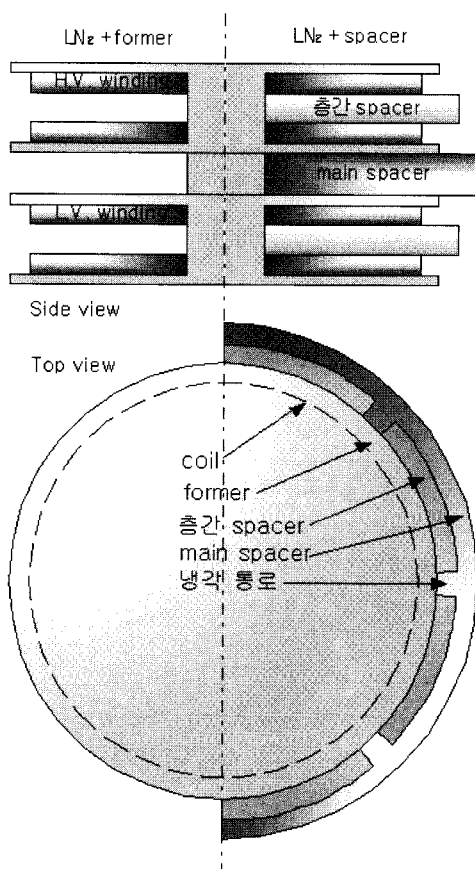


그림 3. 충간 절연 개략도.

Fig. 3. Schematic diagram of section-to-section insulation.

### 3. 실험장치 및 방법

실험장치는 크게 cryostat, 관측부, 전원과 샘플로 구성된다. cryostat는 pyrex 유리로 된 관측창이 있으며, FRP를 이용하여 높이 1650 mm, 내경 300 mm과 외경 430 mm로 제작하였다. cryostat 내부에 샘플을 부착할 수 있는 플랜지를 FRP를 이용하여 제작하였으며, 외부의 열침입을 막기 위한 LN<sub>2</sub>와 진공의 복합층으로 구성되어 있다. 전원은 BARU사의 AC 전원(Type DTA E, 최대교류 전압 100 kV)을 사용하였다. 램프와 CCD 카메라를 이용하여 절연파괴현상을 관찰하였다. 절연특성 실험을 위해 사용한 전극은 침, 구 및 HTS pancake coil 전극을 사용하였다. 침 전극은 선단 꼭두를 반경이 25 μm이고 선단 각은 24°인 stainless를 사용하였으며, 구 전극은 직경 8 mm인 stainless 구를 사용하였다. 평판전극은 직경 60 mm, 두께 1 mm이고 표면은 0.1 μm이하로 경면 처리하였다. HTS pancake coil 전극은 두께 0.3 mm, 폭 3.5 mm의 Bi-2223/Ag 테이프를 이용하여 FRP 지지대에 pancake coil형상으로 제작하였다. HTS pancake coil 전극의 내경은 30 mm, 외경은 60 mm이다.

절연파괴 특성평가를 위해 전극체를 구성한 후 플랜지에 부착하여 cryostat에 장착하였다. cryostat에 LN<sub>2</sub>를 넣은 후 절연파괴 실험을 행하였다. 연면방전 전압은 두께 0.11 mm의 Al 전극을 FRP 표면에 부착한 후 AC 전압을 1 kV/sec로 인가하였다. 본 연구에서는 연면방전전압의 절연물 두께 영향을 고려하기 위해 전극간 거리와 두께를 변화시키면서 연면방전전압을 각 10회 측정하였다. 그림 4에 연면방전 전압 측정용 전극 개략도를 나타낸다.

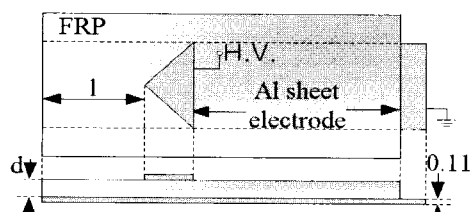


그림 4. 연면방전 전압 측정용 전극

Fig. 4. The electrode configuration for the measurement of the flashover voltage of FRP under LN<sub>2</sub> (All units in mm).

#### 4. 실험결과 및 검토

먼저, 준평동, 불평동 전계하에서  $\text{LN}_2$ 의 절연파괴 특성을 고찰하였다. 그림 5에서 pancake coil 전극에 대하여 침, 구, pancake coil과 평판 전극으로 구성된 전극계에서 AC 절연파괴 전압을 나타낸다.

pancake coil-평판 전극계에서  $V_B$ 는 구 pancake coil과 침 pancake coil 전극계의  $V_B$ 사이에 존재하였으며 pancake coil-pancake coil 전극계의  $V_B$ 는 pancake coil 평판 전극계의  $V_B$ 보다 낮게 나타났다. pancake coil-pancake coil 전극계의  $n$ 은 0.5365이고  $V_B$ 는 식 (1)과 같다.

$$V_B = 21.224d^{0.5365} \quad (1)$$

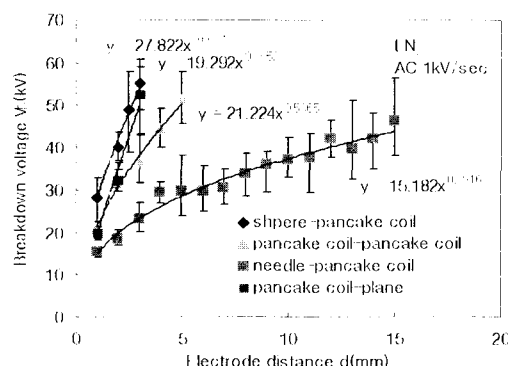


그림 5.  $\text{LN}_2$ 의 절연파괴 특성.

Fig. 5. Breakdown characteristics of  $\text{LN}_2$ .

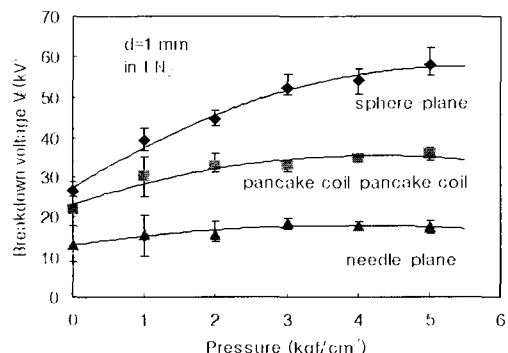


그림 6. 다양한 전극계에서 압력에 따른 절연파괴 전압.

Fig. 6. Breakdown voltage as function of pressure under various electrode system.

그림 6에 전극간격  $d=1\text{ mm}$ 일 때 침-평판, 구-평판 전극계 및 pancake coil-pancake coil 전극계에서 외부 압력변화에 따른  $V_B$ 를 나타낸다. 침 대 평판 전극계에서 액체의 압력을 높이면  $V_B$ 는 증가하지만 증가폭이 매우 적음을 알 수 있다. 하지만 구-평판 전극계에서는 전극계 외부온도이 증가할수록  $V_B$ 는 압력 증가에 비례하여 증가함을 알 수 있다. 이것은 고 신개의 인가에 따른 영향과 압력의 증가에 따른 영향으로 나눌 수 있다.  $\text{LN}_2$ 에 고 진개가 인가되면  $\text{LN}_2$  내에 존재하는 미소 기포에 Maxwell stress가 작용하여 기포의 팽창을 방해한다. 그리고  $\text{LN}_2$ 에 압력을 증가하면  $\text{LN}_2$  내에 미세 기포의 반경은 압력이 증가함에 따라 식 (2)와 같이 작아지고 수명은 식 (3)과 같이 단축된다[7]. 따라서 압력이 높아짐에 따라 전연내력이 낮은  $\text{LN}_2$  중의 미소 기포 크기와 수가 줄어들어 액체의 절연내력은 높아지게 된다.

$$R_m = k \left( \frac{W_i}{P_\infty} \right)^{\frac{1}{3}} \quad (2)$$

$$\Delta t = 1.83R_m \left( \frac{\rho_\infty}{P_\infty} \right)^{\frac{1}{2}} \quad (3)$$

여기서,  $R_m$ 은 최대 기포 반경,  $k$ 는 비례정수,  $W_i$ 는 액체 내에 분사된 에너지이고  $P_\infty$ 는 정수압이다.  $\Delta t$ 는 수명이고  $\rho_\infty$ 는 액체 질소밀도이다.

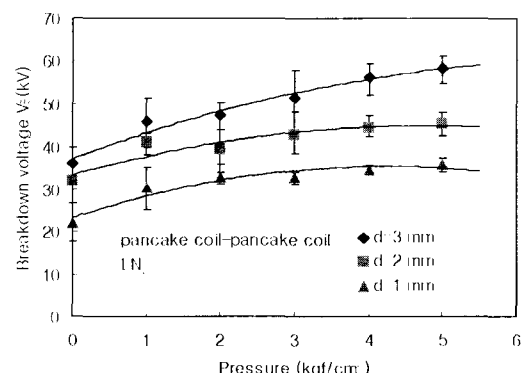


그림 7. Pancake coil 대 pancake coil 전극계에서 압력에 따른 절연파괴 전압.

Fig. 7. Breakdown voltage as function of pressure under pancake coil to pancake coil electrode system.

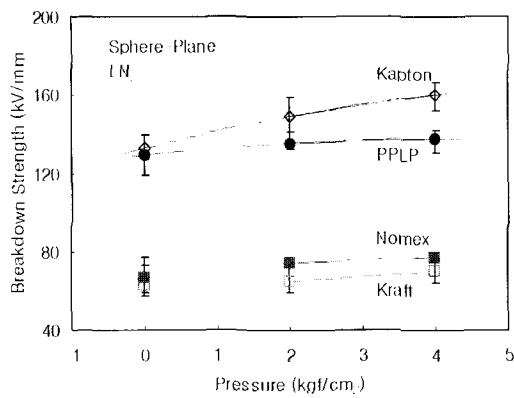


그림 8. 절연 sheets의 압력에 따른 절연파괴전압.  
Fig. 8. Relationship between breakdown strength of insulating sheets and pressure.

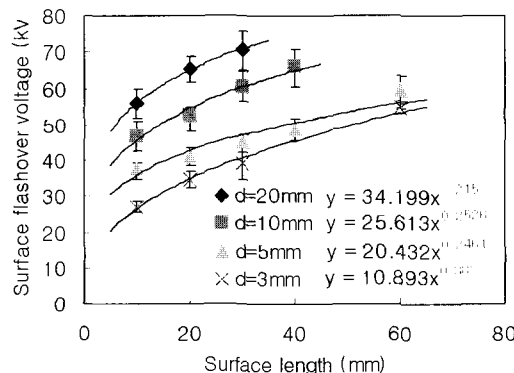


그림 9. Spacer 두께와 길이에 따른 절연파괴전압.  
Fig. 9. The relation between surface flashover voltage and spacer thickness and length.

그림 7에 pancake coil pancake coil 전극계에서 압력 증가에 따른  $V_B$ 를 나타낸다. pancake coil 대 pancake coil 전극계에서 압력 증가에 따른  $V_B$ 는 다른 전극계와 같이 증가하였으며 증가폭은 침대 평판 전극계보다 높고 구 대 평판 전극계보다 낮은 값을 나타내었다.

그림 8에 턴간 절연을 고려하여 턴간 절연물로 사용이 유리한 절연물인 Kapton, PPLP, Nomex 와 Kraft의 AC 절연파괴강도를 나타낸다. 압력에 따른 절연파괴강도는 압력이 증가함수록 절연파괴강도도 증가하였다. 이것은 캡톤 필름 주위에 있는 LN<sub>2</sub>내의 미소기포가 압력에 의해 발생 및 확장되어 절연파괴에 기포의 영향이 줄어들 것으로

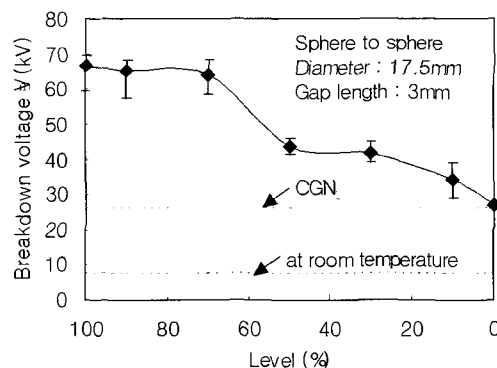


그림 10. LN<sub>2</sub>와 CGN<sub>2</sub>의 복합계에서 LN<sub>2</sub>의 레벨에 따른 절연파괴전압.  
Fig. 10.  $V_B$  of complex condition of CGN<sub>2</sub> above a LN<sub>2</sub> as function of LN<sub>2</sub> level.

로 사료된다. 77 K, 0 kgf/cm<sup>2</sup>(1atm)에서 각 절연 물의 최소, 최대 절연파괴강도는 다음과 같다.

- 1) PPLP: 119 139 kV/mm
- 2) Kraft: 59.3 72.7 kV/mm
- 3) Kapton: 127 140 kV/mm
- 4) Nomex: 57.1 77.1 kV/mm

PPLP와 Kapton film이 우수한 절연파괴 특성을 나타내었다.

그림 9에 spacer 두께와 길이에 따른 연면방전 전압을 나타낸다. 연면방전 전압은 spacer 길이가 증가함에 따라 증가하다가 포화하는 경향을 나타내고 있다. spacer 두께가 증가하면 연면방전 전압이 크게 높아짐을 알 수 있다. 절연파괴전압은 spacer의 길이보다 두께에 크게 의존하는 경향을 나타낸다. 따라서 DPC형 고온초전도 변압기의 절연설계 목표전압에 따라 spacer의 길이와 두께가 적절히 고려되어야 될 것으로 사료된다.

HTS 기기의 고전압 리드부는 납땜온 액체와 기체가 같이 존재한다. 따라서 액체와 기체의 복합계에서 절연파괴 고찰이 필요하다. 따라서 본 연구에서는 LN<sub>2</sub>와 GN<sub>2</sub>가 공존하는 경우와 리드부의 절연물이 부분 침식되었을 경우를 고려하여 액체와 기체가 복합적으로 존재하는 환경에서의 절연파괴 전압을 고찰하였다. 그림 10에 LN<sub>2</sub>의 수위에 따른 절연파괴전압을 나타낸다. LN<sub>2</sub> 수위가 70 %에서 50 %사이에서 급격하게 감소하고 50 %에서 0%사이에서는 완만하게 감소하는 경향을 나타내었다.

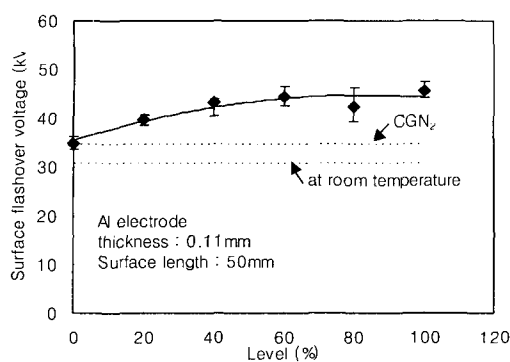


그림 11.  $\text{LN}_2$ 와 CGN<sub>2</sub>의 복합계에서  $\text{LN}_2$ 의 레벨에 따른 FRP의 연면방전 전압.

Fig. 11. Surface flashover voltage of FRP under complex condition of CGN<sub>2</sub> above a  $\text{LN}_2$  surface as a function of  $\text{LN}_2$  level.

그림 11에  $\text{LN}_2$  수위에 따른 연면방전 전압을 나타낸다.  $\text{LN}_2$  수위가 상승함에 따라 거의 일정하게 상승하는 경향나타내지만 공기나 CGN<sub>2</sub>의 연면방전 전압에 비교하였을 때 크게 향상되지는 않았다. 그림 10과 그림 11에서 보듯이 CGN<sub>2</sub>의 절연내력은  $\text{LN}_2$ 의 절연내력보다는 낮기 때문에 기기의 안정성 확보를 위하여 절연설계에 이 부분이 고려되어야 할 것으로 사료된다.

## 5. 결 론

본 연구에서는 DPC형 고온초전도 변압기 전기적 절연설계에 필요한 절연구성을 명확화 하였으며, 절연구성에 따른 절연특성을 연구하여 다음과 같은 결론을 얻었다.

냉매로 사용되는  $\text{LN}_2$ 의 절연파괴특성을 고찰하였으며, 압력에 따라 절연파괴 전압은 증가하지만 구-평판이 증가폭이 가장 크게 나타났으며 pancake coil-pancake coil 전극계는 구-평판과 침-평판 사이의 증가폭을 나타내었다. 턴간 절연물로 유력한 절연 sheet의 절연파괴강도를 조사한 결과 Kapton과 PPLP가 높은 절연파괴강도를 나타내었다. spacer용 FRP의 연면방전 전압은 길이보다 두께에 크게 의존하였으며 절연설계 복표전압에 따라 길이와 두께를 적절히 고려되어야 할 것이다. 액체와 기체의 복합환경에서 절연파괴 전압은 액체만 존재하는 경우 보다 크게 감소하였다. 따

라서 리드부의 절연 설계시 반드시 고려되어야 할 것으로 사료된다.

## 감사의 글

본 연구는 21세기 프론티어 연구개발사업인 차세대초전도용용기기술개발 사업단의 연구비 지원에 의해 수행되었습니다.

## 참고 문헌

- [1] W. G. Garlick, "Power system applications of high temperature superconductors". Cryogenics, Vol. 37, p. 649, 1997.
- [2] 김영식, 이병성, 곽민환, 장현만, 김상현, "Bi-2223계 Prototype 고온 초전도 케이블의 전류 통전 특성", 한국전기전자재료학회, 13권, 7호, p. 630, 2000.
- [3] 오상수, 하홍수, "PIT법에 의한 은시스 Bi-2223 고온초전도 장착 선재 개발". 한국전기전자재료학회 2000춘계학술대회 논문집, p. ix, 2000.
- [4] J. Gerhold, "Cryogenic liquids a prospective insulation basis for future power equipment". IEEE Trans. on Dielectrics and Electrical Insulation, Vol. 9, No. 1, p. 68, 2002.
- [5] 김상현, 김정호, 윤문수, 권영한, "액체 질소의 절연특성에 미치는 전극효과에 관한 연구", 전기전자재료, 4권, 2호, p. 114, 1991.
- [6] B. Y. Seok, N. Tamuro, and M. Hara, "A study of thermal bubble behavior in the simulated electrode system of high temperature superconducting coils", IEEE Trans. on DEI, Vol. 6, No. 3, p. 109, 1999.
- [7] A. Denat, F. Jomni, F. Aitken, and N. Bonifaci, "Thermally and electrically induced bubbles in liquid argon and nitrogen", IEEE Trans. on Dielectrics and Electrical Insulation Vol. 9, No. 1, p. 17, 2002.